

УДК 591.84:597.6

Е. И. Домашевская

## ПРОЛИФЕРАТИВНЫЕ СВОЙСТВА КЛЕТОК НАДКОСТНИЦЫ У АМФИБИЙ

В специальной литературе имеются немногочисленные общие сведения о развитии скелета длинных трубчатых костей у амфибий (Кашенко, 1896; Eggeling, 1911; Lubosch, 1928; Румянцев, 1958; Житников, 1980; Домашевская, 1984, 1989). При этом фактически отсутствует информация о пролиферативных потенциях клеток надкостницы, которая играет большую роль в аппозиционном росте кости. Для более полного выяснения особенностей роста и развития скелета у амфибий представляется важным изучение не только структуры надкостницы, но и пролиферативных потенций ее клеток.

Исследование проводили на личинках, масса которых составляла 4—5 г, и на одногодичных чесночницах (*Pelobates fuscus*).  $^3\text{H}$ -тимидин вводили внутрибрюшенно однократно в дозе 74 кБк/г живой массы с последующей фиксацией периоста с подлежащим слоем компакты бедренной кости в 10 %-м нейтральном формалине через 1; 24 и 48 ч (личинки) и через 1; 24 и 72 ч (лягушата).

На гистоавтографах с  $^3\text{H}$ -тимидином определяли (в %) отношение меченых клеток к общему числу клеток на условную единицу площади гистологического среза, а также интенсивность синтеза дезоксирибонуклеиновой кислоты по концентрации метки над ядром клетки (интенсивность мечения). Митотический индекс ядер вычислялся на 1000 клеток. Полученные данные обрабатывали методом вариационной статистики (Терентьев, Ростова, 1977).

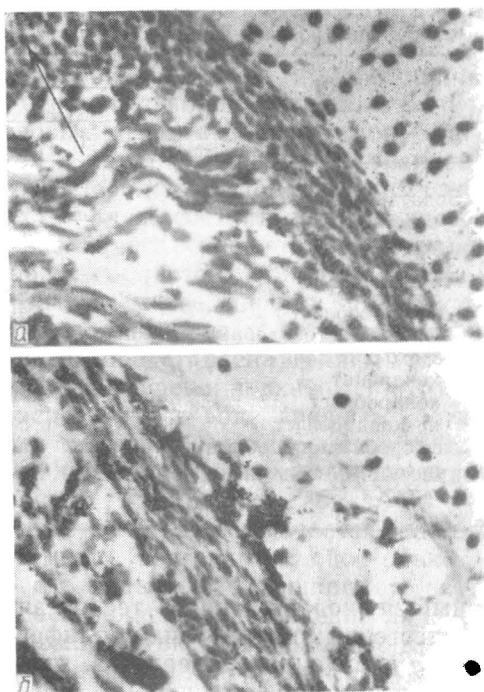
В период развития личинки (стадия 46, 47, 49 по Н. В. Дабагяну) надкостница длинных трубчатых костей в зонах закладки кости диафиз, метафиз и «переходная зона» различна по толщине (количеству клеточных рядов) и функциональным проявлениям клеток. Так, у личинок (на стадии 46) надкостница начинает дифференцироваться в диафизарной зоне будущей кости в период, когда хрящевая закладка подготовлена к замещению. В самом глубоком слое перехондра еще до появления здесь костной манжетки клетки приобретают характерный вид остеобластов и начинают продуцировать фермент — щелочную фосфатазу. В это время у земноводных отмечается типичное для амфибий грибовидное разрастание хрящевого эпифиза, края которого далеко заходят на метафизы. Клетки надкостницы в «переходной зоне» (на границе перихондр — надкостница) расположены в 2—3 ряда, из которых внутренний слой состоит из остеобластов, а поверхностный — хондробластов. В концевом верхушечном отделе щели, куда край костной трубки не доходит, содержатся только хондробlastы (рисунок, а).

Уже через час после введения  $^3\text{H}$ -тимидина индекс мечения клеток, как по слоям перихондра, так и по зонам хрящевой закладки кости, не одинаков (рисунок, б): он, во-первых, значительно выше в озне диафиза закладки кости и, во-вторых, большой процент меченых ядер отмечается в его поверхностном слое. Следует обратить внимание на то, что и показатель митотического деления этих клеток выше (табл. 1).

Очевидно, суммарный показатель концентрации всех клеток надкостницы, как и фракции пометившихся в каждой зоне закладки кости, непосредственно связан с интенсивностью протекающего здесь перихондрально-периостального остеопластического процесса. Так как в метафизарной зоне прирост идет пока медленно, то здесь и сосредоточено на эквивалентной площади минимальное количество пролиферирующих клеток.

Примерно такая же картина распределения клеток в зоне метафиза сохраняется и спустя 24 ч после введения  $^3\text{H}$ -тимидина (личинки дости-

Гистоавтографы надкостницы бедренной кости личинки *P. fuscus* на стадии 47 (по Н. В. Дабагяну). Видны многочисленные меченные клетки надхрящницы (*a*) и надкостницы зоны диафиза (*b*) через 1 ч после внутрибрюшинного введения  $^{3}\text{H}$ -тимицина (Гемат.-эозин Делафильда; об. 40. ок. 7).



гают 47-й стадии развития), однако к этому времени весомо (почти в 2 раза) уменьшается интенсивность мечения клеток поверхностного слоя — свидетельство произшедшего за это время их деления (от 13 до 27 %). В это время перихондральная костная трубка в области диафиза приобретает несколько большие размеры по длине и массе. Если на предыдущей стадии зародыш на гистологическом срезе как тонкая (10—12 мкм) пластиночка, то на стадии 47 толщина ее достигает 24 мкм, и в ней уже имеются единичные остеоциты.

Параллельно с этим следует отметить количественную прибавку меченных остеобластов (с 17 до 38 %) и незначительное количество меченных фибробластоподобных клеток. Однако если прибавка меченных остеобластов произошло за счет созревания как помеченных преостеобластов, так и деления самих остеобластов, то содержащие метку фибробластоподобные клетки распределяются в пределах своей же популяции поверхностного слоя.

Спустя 48 ч после введения  $^{3}\text{H}$ -тимицина можно отметить следующее: 1) заметно прогрессирует фракция меченных клеток в глубоком слое (зона диафиза) при одновременном значимом снижении индекса мечения клеток поверхностного слоя, т. е. пополнение остеобластов, по-видимому, происходит за счет клеток поверхностного слоя периода; 2) часть меченных клеток метафиза разделилась повторно. Метка над ядрами некоторых клеток стала на уровне фона, и они не учитывались при подсчете.

Следовательно, сам собой напрашивается вывод о том, что интенсивность остеопластического процесса в растущей закладке кости в дан-

Таблица 1. Показатели пролиферации клеток в перихондре закладки бедренной кости личинки чесночницы

Клетки	Время после введения $^{3}\text{H}$ -тимицина, ч						Митотический индекс	
	1		24		48			
	I	II	I	II	I	II		
<b>Зона диафиза</b>								
клетки глубокого слоя	17	$30,5 \pm 0,1$	38	$14,0 \pm 0,3$	49	$11,4 \pm 0,2$	0,4	
клетки поверхностного слоя	35	$20,0 \pm 0,2$	39	$17,3 \pm 0,4$	16	$8,9 \pm 0,5$	0,2	
<b>Зона метафиза</b>								
клетки глубокого слоя	15	$9,5 \pm 0,1$	8	$7,6 \pm 0,3$	4	$5,0 \pm 0,2$	0,1	
клетки поверхностного слоя	13	$25,0 \pm 0,3$	27	$11,0 \pm 0,4$	10	$8,5 \pm 0,2$	0,2	

Примечание. В табл. 1 и 2: I — индекс меченных ядер, %; II — интенсивность мечения ядер.

**Таблица 2. Показатели пролиферации клеток в надкостнице бедренной кости чесночницы (возраст 1 год)**

Клетки	Время после введения $^{3}\text{H}$ -тимидина, ч						Мито- тический индекс	
	1		24		72			
	I	II	I	II	I	II		
Зона диафиза								
остеобласт	—	—	2	$4,2 \pm 0,3$	3	$5,4 \pm 0,4$	—	
преостеобласт	6	$7,7 \pm 0,5$	4	$6,2 \pm 0,2$	3	$9,4 \pm 0,3$	0,01	
Зона метафиза								
остеобласт	5	$26,1 \pm 0,5$	9	$8,4 \pm 0,1$	4	$7,4 \pm 0,1$	0,01	
преостеобласт	7	$40,9 \pm 0,4$	17	$6,6 \pm 0,9$	6	$4,9 \pm 0,7$	0,02	
фибробластоподобные клетки	6	$12,4 \pm 0,6$	10	$7,3 \pm 0,1$	5	$4,8 \pm 0,5$	0,01	
Переходная зона								
хондроцит	—	—	—	—	3	$8,5 \pm 0,3$	—	
хондробласт	—	—	4	$6,5 \pm 0,7$	12	$6,3 \pm 0,1$	0,01	
прехондробласт	8	$51,0 \pm 0,3$	18	$20,7 \pm 0,2$	6	$9,0 \pm 0,3$	0,02	
фибробластоподобные клетки	19	$50,8 \pm 0,4$	2	$25,6 \pm 0,2$	5	$12,6 \pm 0,4$	0,03	
преостеобласт	16	$60,6 \pm 0,4$	53	$22,2 \pm 0,8$	8	$8,5 \pm 0,3$	0,02	
остеобласт	—	—	21	$6,1 \pm 0,7$	19	$4,6 \pm 0,4$	0,01	

ный период онтогенеза тесно связана с количественной концентрацией остеогенных клеток и их пролиферирующих единиц в каждой конкретной зоне перихондра — периоста, что в конечном счете и скажется на росте скелетных звеньев в целом.

Для того чтобы удостовериться в возможности этого, мы поставили дополнительный опыт на одногодичных чесночницах при тех же режимах введения  $^{3}\text{H}$ -тимидина в организме. Перед началом изложения результатов данного исследования отметим, что у годичной лягушки диафизарная область бедренной кости уже полностью сформирована, ростовые процессы сохраняются еще в метафизах и значительно активно протекают в переходной зоне.

В отличие от надкостницы более ранних стадий развития личинок у лягушек на этой стадии онтогенеза остеобласти в периoste диафиза уже приобретают форму удлиненных клеток с плотным штриховидным ядром. Такой метаморфоз остеогенных клеток, по-видимому, связан с переходом надкостницы диафизарной зоны кости в состояние более зрелой тканевой дифференцировки, для которой удлиненная форма остеогенных клеток является обычной. Несмотря на изменение формы, их количество на равной протяженности периоста сохраняется в пределах 17—20 единиц на 250 мкм.

Естественно, возникает вопрос: каким путем пополняется состав остеогенных клеток в надкостнице, за счет каких источников?

При анализе полученных гистоавтографов оказалось, что спустя час после введения  $^{3}\text{H}$ -тимидина в надкостнице диафиза отмечаются всего единичные (до 6 %) меченные клетки среди преостеобластов (табл. 2). В надкостнице зоны метафизов регистрируются меченные клетки всех видов зрелости (остеобласти, преостеобласти и фибробластоподобные клетки), однако их процент невысок (от 5 до 7 %). В то же время в «переходной зоне» индексы мечения ядер над этими видами клеток немного выше, а над преостеобластами и фибробластоподобными клетками индексы мечения ядер почти в 3 раза выше, чем в надкостнице зоны метафиза кости.

Через 24 ч после начала опыта в зоне диафиза по-прежнему регистрируются невысокие проценты меченых ядер над клетками — 2—4 %, в то время как над ядрами клеток метафиза и переходной зоны — значительно выше. Так, над прехондробластами индекс мечения ядер — 18 %, а над преостеобластами — 53 % (табл. 2). При этом отмечается снижение на половину интенсивности метки (с 60 до 22 зерен восстановленно-

го серебра), спустя 24 ч мы учили фактически популяцию поделившихся ранее помеченных клеток.

В метаэпифизарных зонах под грибовидной муфтой эпифизарного хряща продолжает существовать периостально-периондральный участок, в котором на границе с гиалиновым хрящом клетки такого тканевого образования дифференцируются в хондробласти, а на границе с костью и кровеносными сосудами — в остеобласти. Поверхностный слой надкостницы, как и на предыдущих стадиях, состоит из волокнистого каркаса с включенными клетками различного уровня дифференцировки — от фибробластоподобных до преостеобластов. Пополнение клеток в ней происходит преимущественно за счет менее дифференцированных состояний, и частично за счет функционально зрелых остеобластов. То есть, надкостница у земноводных здесь представлена единым слоем: включающим клетки различных стадий дифференцировки.

При анализе гистоавтографов через 72 ч в зоне диафиза кости в надкостнице отмечается по-прежнему невысокий индекс мечения ядер клеток (табл. 2). Среди ядер клеток надкостницы зоны метафизов индексы мечения ядер также невысоки.

При этом над фибробластоподобными клетками отмечается (табл. 2) и разбавление метки, то есть имеет место, по-видимому, не только их деление, но и трансформация в другие ряды клеток, например, за их счет идет пополнение популяции преостеобластов. Понижение индексов мечения ядер наблюдается и над ядрами клеток переходной зоны, с одной стороны, за счет уменьшения прехондробластов мы имеем увеличение процента хондробластов, а с другой стороны — за счет ранее меченых преостеобластов — значительный еще процент меченых остеобластов (19%).

Преостеобластические состояния, судя по всему, представляют собой основной клеточный фонд растущей надкостницы, так как фибробластоподобные формы пролиферируют (по радиоактивному индексу) в пределах 16—19% (табл. 2). Картина гисторадиографии интересна не столько этими данными, сколько возможностью достоверно убедиться в гистогенетической преемственности разнодифференцированных клеток надкостницы. В самом деле, в течение суток можно отметить достоверное пополнение фракции меченых остеобластов за счет дифференцировки ранее помечившихся преостеобластов, что заметно по численной прибавке остеобластов с половинной интенсивностью метки, характерной для разделившихся преостеобластов. Однако даже в условиях кратковременного опыта заметна тенденция перехода небольшой доли помеченных клеток фибробластоподобных в слой преостеобластов. Тенденция доминирующего пролиферирования менее дифференцированных клеток для пополнения состава более дифференцированных клеток самого внутреннего слоя хорошо заметна еще в периондре до начала периостального остеогенеза. В приводимой здесь табл. 1 наглядно выступает преобладающая экстенсивность мечения среди поверхностно расположенных клеток периондра. Затем на последующих этапах наблюдения (через 24, 48 ч), когда свободно циркулирующего в организме  $^3\text{H}$ -тимидина уже нет, заметно прогрессирует фракция меченых клеток в глубоком слое при одновременном значимом снижении индекса мечения клеток поверхностного слоя. При этом следует отметить, что ключевой этап периостального остеогенеза всегда начинается с налаживанием остеогенной функции в клетках периондра, поэтому структуру периондра есть основания считать как исходную для дифференцировки в периост. Но совершенно ясным следует признать и то, что даже в сформированной зоне костного скелета (диафизе) клетки надкостницы в какой-то мере сохраняют пролиферативные свойства, возможно, необходимые не столько для роста кости, сколько для ее адаптивного ремоделирования и физиологической регенерации.

В специальной литературе нет данных о пролиферативных свойст-

вых клеток надкостницы у земноводных. Такие сведения получены методом авторадиографии с меченым предшественником ДНК —  $^{3}\text{H}$ -тимидином для млекопитающих (Owen, 1963; Топпа, 1965; Мажуга, Хрисанфова, 1985; Родионова, 1989). В этих работах отмечается низкая пролиферативная активность клеток поверхностного слоя надкостницы у крысы.

Полученные нами данные согласуются с предположением других авторов (Левикова, 1950; Prichard, 1952; Burger et al. 1986), допускающих возможное участие клеток поверхностного слоя надкостницы в пополнении его остеогенных клеток и в какой-то мере дополняют имеющиеся в специальной литературе данные о свойствах пролиферации клеток надкостницы у других позвоночных.

- Дабагян Н. В., Слепцова Л. А.** Таблица нормального развития травяной лягушки *Rana temporaria* // Объекты биологии развития. — М.: Наука, 1975. — С. 442—463.
- Домашевская Е. И.** Особенности строения надкостницы у некоторых позвоночных // Вестн. зоологии. — 1984. — № 4. — С. 21—34.
- Домашевская Е. И.** Особенности строения надкостницы у безхвостых амфибий // Там же. — 1982. — № 2. — С. 42—46.
- Житников А. Я.** Морфология хондрогенеза и кинетика репродукции хондроцитов при развитии хрящевого скелета // Докл. АН УССР. Сер. Б. — 1980. — № 7. — С. 69—74.
- Кашенко Н. Ф.** Что такое мезенхима? // Изв. Томск. ун-та. — 1896. — № 10. — С. 1—24.
- Левикова В. П.** Наблюдения над экспериментальным остеогенезом у кролика // Докл. АН СССР. — 1950. — 71, № 1. — С. 149—152.
- Мажуга П. М., Хрисанфова Е. Н.** Очерки эволюции человека. — Киев: Наук. думка, 1985. — 136 с.
- Родионова Н. В.** Функциональная морфология клеток в остеогенезе. — Киев: Наук. думка, 1989. — 185 с.
- Румянцев А. В.** Опыт исследования эволюции хрящевой и костной тканей. — М.: Медицина, 1958. — 439 с.
- Burger B. H., Boonenkamp P. M., Nijsweide P. J.** Osteoblast and osteoclast precursors in primary cultures of calvarial bone cells // J. Anat. Rec. — 1986. — 214, N 1. — P. 32—40.
- Owen M.** Cell population kinetics of an osteogenic tissue // J. Cell Biol. — 1963. — 19, N 1. — P. 19—32.
- Prichard J.** A Cytological and histochemical study of bone and cartilage formation in the rat // J. Anat. — 1952. — 86. — P. 220—237.
- Toppa E. A.** The cellular complement of the skeletal system studied thymidine ( $^{3}\text{H}$  TDR) during growth and aging // J. Biophys. Biochem. Cytol. — 1961. — 9. — P. 813—824.

Институт зоологии им. И. И. Шмальгаузена АН УССР (Киев)

Получено 12.07.89

УДК 591.471.4:591.2: [599.73+599.74]

П. Н. Кораблев, Р. И. Лихотоп

## ОБ АСИММЕТРИИ ЧЕРЕПА МЛЕКОПИТАЮЩИХ

Число работ, в которых рассматривается феномен асимметрии черепа, невелико, почти все они посвящены анализу флюктуирующей асимметрии (Захаров и др., 1984; Александров и др., 1985; Захаров, 1987 и др.). Некоторые авторы приводят примеры общей асимметрии черепа, возникшей в естественных условиях (Dolgov, Rossolimo, 1964; Buchalczuk et al., 1981) или полученной экспериментальным путем при удалении мышц (Washburn, 1947 из Dolgov, Rossolimo, 1964; Никитиuk, 1983). Врожденному искривлению черепа влево или вправо посвящено несколько строк в описании аномалий черепа диких животных у Х. С. Горегляда (1971). Это явление известно также и для человека (Сперанский, Зайченко, 1980). А. Г. Козинцев (1988) при работе с большой серией черепов человека (около 4 тыс. черепов, относящихся к 65 этническим группам) в 10,6 % случаев выявил следы правосторонней или левосторонней затылочной деформации, причем в некоторых выборках она составляла 50 %.

© П. Н. КОРАБЛЕВ, Р. И. Лихотоп, 1990